

УДК 546.651'824'72

© 2006

Ю. О. Тітов, член-кореспондент НАН України М. С. Слободяник,
В. В. Чумак

Умови ізовалентного заміщення атомів рідкісноземельних елементів у п'ятишаровій перовскітоподібній структурі $\text{Ln}_5\text{Ti}_4\text{FeO}_{17}$

By the X-ray methods (RFA, analysis of dependences (a , b , c , $V_{\text{el.cell}}$) = f (composition)), the condition for the isovalent substitution of REE atoms in the layer perovskite-like structure (LPS) of $\text{Ln}_5\text{Ti}_4\text{FeO}_{17}$ by the $\text{Ln}_{5-x}\text{Ln}_x^{\text{I}}\text{Ti}_4\text{FeO}_{17}$ type ($\text{Ln} = \text{La, Pr, Nd, Ln}^{\text{I}} = \text{Pr, Nd, Sm, Gd, Dy, Yb}$) has been determined. It is shown that the "growing" of the fifth layer of FeO_6 octahedrons by perovskite LnFeO_3 in perovskite-like blocks $\text{Ln}_4\text{Ti}_4\text{O}_{14}$ ($\text{Ln} = \text{La - Nd}$) reduces the stability of LPS.

Наявність у сполук та фаз із шаруватою перовскітоподібною структурою (ШПС) загально-го складу $\text{A}_n\text{B}_n\text{O}_{3n+2}$ комплексу цінних електрофізичних, оптических та каталітических властивостей [1, 2] дає підстави для віднесення їх до перспективних неорганічних матеріалів сучасної техніки.

Серед представників гомологічного ряду сполук типу $\text{A}_n\text{B}_n\text{O}_{3n+2}$ найбільш чисельними є п'ятишарові ($n = 5$) сполуки складу $\text{A}^{\text{II}}\text{Ln}_4\text{Ti}_5\text{O}_{17}$ ($\text{A}^{\text{II}} = \text{Ca, Sr, Pb, Cd, Ln} = \text{La, Pr, Nd}$), $\text{NaA}_4^{\text{II}}\text{Nb}_5\text{O}_{17}$ ($\text{A}^{\text{II}} = \text{Ca, Sr}$), $\text{A}_5^{\text{II}}\text{TiNb}_4\text{O}_{17}$ ($\text{A}^{\text{II}} = \text{Ca, Sr}$), $\text{Ln}_5\text{Ti}_4\text{B}^{\text{III}}\text{O}_{17}$ ($\text{Ln} = \text{La, Pr, Nd, B}^{\text{III}} = \text{Fe, Ga, Cr, Al}$) [1, 3-7].

Одним з дієвих способів регулювання властивостей оксидних сполук є ізоморфне заміщення атомів у різних кристалографічних позиціях їх структури. На сьогодні значення меж існування твердих розчинів із ШПС встановлені переважно для фаз на основі тонкоблооческих ($n = 2-4$) сполук типу $\text{A}_n\text{B}_n\text{O}_{3n+2}$, що робить дослідження ізоморфної ємності товстоблооческих ($n \geq 5$) представників цього ряду сполук досить актуальними.

Мета даної роботи — дослідження можливості та умов ізовалентного заміщення атомів рідкісноземельних елементів (РЗЕ) у п'ятишаровій ШПС $\text{Ln}_5\text{Ti}_4\text{FeO}_{17}$ за типом $\text{Ln}_{5-x}\text{Ln}_x^{\text{I}}\text{Ti}_4\text{FeO}_{17}$ ($\text{Ln} = \text{La, Pr, Nd, Ln}^{\text{I}} = \text{Pr, Nd, Sm, Gd, Dy, Yb}$).

Полікристалічні зразки $\text{Ln}_{5-x}\text{Ln}_x^{\text{I}}\text{Ti}_4\text{FeO}_{17}$ синтезували шляхом термообробки (1620 К, 2 год) сумісноосаджених гідроксидів. За вихідні використовували водні розчини $\text{Ln}(\text{NO}_3)_3$ ($\text{Ln} = \text{La, Pr, Sm, Gd, Dy, Yb}$), NdCl_3 , $\text{Fe}(\text{NO}_3)_3$ марок "хч" й TiCl_4 марки "ч". Осадження проводили у водному розчині амоніаку з $\text{pH} 9-10$. Рентгенографічні дослідження виконані на приладі ДРОН-3 (CuK_{α} -випромінювання з Ni фільтром).

Рентгенофазовий аналіз одержаних зразків показав, що в системах сполук $\text{Ln}_{5-x}\text{Ln}_x^{\text{I}}\text{Ti}_4\text{FeO}_{17}$ мають місце два типи фазових областей: область фаз із ШПС та неоднофазна область, яка в основному складається з фаз із ШПС та фаз із структурою типу пірохлору.

Дифрактограми фаз $\text{La}_{5-x}\text{Ln}_x^{\text{I}}\text{Ti}_4\text{FeO}_{17}$ ($\text{Ln}^{\text{I}} = \text{Sm, Gd, Dy, Yb}$) із ШПС подібні до дифрактограми індивідуальної сполуки $\text{La}_5\text{Ti}_4\text{FeO}_{17}$ і індексуються як у ромбічній (можливі просторові групи: центросиметрична $\text{Pmnn} = D_{2h}^{12}$ або полярна $\text{P}2\text{nn} = C_{2v}^{10}$), так і у взаємозв'язаній з нею ($a_m = 2a_p$, $b_m = b_p / \sin \gamma$, $c_m = c_p$) моноклінній установці (пр. гр. $\text{P}2_1/b$).

Систематика погасань відбиттів на дифрактограмах фаз $\text{Ln}_{5-x}\text{Ln}_x^{\text{I}}\text{Ti}_4\text{FeO}_{17}$ ($\text{Ln} = \text{Pr}, \text{Nd}, \text{Ln}^{\text{I}} = \text{Nd}, \text{Sm}, \text{Gd}, \text{Dy}, \text{Yb}$) однозначно вказує на належність їх ШПС, як і ШПС вихідних індивідуальних сполук $\text{Pr}_5\text{Ti}_4\text{FeO}_{17}$ та $\text{Nd}_5\text{Ti}_4\text{FeO}_{17}$, до центросиметричної моноклінної просторової групи $P2_1/b$.

Величини меж ізовалентного заміщення атомів РЗЕ у ШПС фаз $\text{Ln}_{5-x}\text{Ln}_x^{\text{I}}\text{Ti}_4\text{FeO}_{17}$ були встановлені за результатами рентгенофазового аналізу та уточнені, виходячи із залежностей $V_{\text{ел. ком.}} = f(x)$, розрахунок яких був здійснений із використанням єдиної моноклінної (пр. гр. $P2_1/b$) установки всіх зразків. Їх чисельні значення та мінімальні величини співвідношень $\bar{R}_{\text{LnXII}}/\bar{R}_{\text{BVI}}$ для вказаних фаз наведено у табл. 1.

Характер залежностей періодів та об'ємів елементарних комірок фаз $\text{Ln}_{5-x}\text{Ln}_x^{\text{I}}\text{Ti}_4\text{FeO}_{17}$ з п'ятишаровою ШПС від складу відповідає закону Вегарда (рис. 1, 2), що дозволяє розглядати їх як ряди твердих розчинів, що неперервні в системах $\text{La}_{5-x}\text{Ln}_x^{\text{I}}\text{Ti}_4\text{FeO}_{17}$ ($\text{Ln} = \text{Pr}, \text{Nd}$), $\text{Pr}_{5-x}\text{Nd}_x\text{Ti}_4\text{FeO}_{17}$ та обмежені в системах $\text{Ln}_{5-x}\text{Ln}_x^{\text{I}}\text{Ti}_4\text{FeO}_{17}$ ($\text{Ln} = \text{La}, \text{Pr}, \text{Nd}, \text{Ln}^{\text{I}} = \text{Sm}, \text{Gd}, \text{Dy}, \text{Yb}$).

Максимальний ступінь заміщення атомів Ln в обмежених твердих розчинах $\text{Ln}_{5-x}\text{Ln}_x^{\text{I}}\text{Ti}_4\text{FeO}_{17}$ із ШПС обернено пропорційний різниці кристалічних іонних радіусів Ln ($\text{La}, \text{Pr}, \text{Nd}$) й Ln^{I} ($\text{Sm} - \text{Yb}$) та визначається співвідношенням іонних радіусів атомів у А- і В-позиціях ШПС ($\bar{R}_{\text{LnXII}}/\bar{R}_{\text{BVI}}$) (див. табл. 1). Мінімальні значення співвідношень

Таблиця 1. Величини меж ізоморфного заміщення і значення $\bar{R}_{\text{AxII}}/\bar{R}_{\text{BVI}}$ для фаз $\text{Ln}_{5-x}\text{Ln}_x^{\text{I}}\text{Ti}_4\text{FeO}_{17}$ і $\text{Ln}_{4-x}\text{Ln}_x^{\text{I}}\text{Ti}_4\text{O}_{14}$ із ШПС

Ln	Ln^{I}	$\text{Ln}_{5-x}\text{Ln}_x^{\text{I}}\text{Ti}_4\text{FeO}_{17}$			$\text{Ln}_{4-x}\text{Ln}_x^{\text{I}}\text{Ti}_4\text{O}_{14}$ [8]		
		X	Інтервал значень $\bar{R}_{\text{AxII}}/\bar{R}_{\text{BVI}}$	Мінімальне значення $\bar{R}_{\text{AxII}}/\bar{R}_{\text{BVI}}$	X	Мінімальне значення $\bar{R}_{\text{AxII}}/\bar{R}_{\text{BVI}}$	
La	—	$X = 0$	2,00	2,00	$X = 0$	2,03	
Pr		$0 \leq X \leq 5$	$1,95 \leq \bar{R}_{\text{AxII}}/\bar{R}_{\text{BVI}} \leq 2,00$	—	$0 \leq X \leq 4$	—	
Nd		$0 \leq X \leq 5$	$1,88 \leq \bar{R}_{\text{AxII}}/\bar{R}_{\text{BVI}} \leq 2,00$	—	$0 \leq X \leq 4$	—	
Sm		$0 \leq X \leq 2,35$	$1,93 \leq \bar{R}_{\text{AxII}}/\bar{R}_{\text{BVI}} \leq 2,00$	1,935(5)	$0 \leq X \leq 2,8$	1,92(1)	
Eu	—	—	—		$0 \leq X \leq 2,4$		
Gd		$0 \leq X \leq 1,5$	$1,94 \leq \bar{R}_{\text{AxII}}/\bar{R}_{\text{BVI}} \leq 2,00$		$0 \leq X \leq 2,0$		
Dy		$0 \leq X \leq 1,3$	$1,93 \leq \bar{R}_{\text{AxII}}/\bar{R}_{\text{BVI}} \leq 2,00$		—		
Yb		$0 \leq X \leq 0,9$	$1,94 \leq \bar{R}_{\text{AxII}}/\bar{R}_{\text{BVI}} \leq 2,00$		—		
Lu	—	—	—		$0 \leq X \leq 1,2$	1,92(1)	
Pr	—	$X = 0$	1,95	1,95	$X = 0$	1,97	
Nd		$0 \leq X \leq 5$	$1,88 \leq \bar{R}_{\text{AxII}}/\bar{R}_{\text{BVI}} \leq 1,95$	—	$0 \leq X \leq 4$	—	
Sm		$0 \leq X \leq 1,5$	$1,92 \leq \bar{R}_{\text{AxII}}/\bar{R}_{\text{BVI}} \leq 1,95$	1,92	$0 \leq X \leq 2,4$	1,92(1)	
Eu	—	—	—		$0 \leq X \leq 2,0$		
Gd		$0 \leq X \leq 1,2$	$1,92 \leq \bar{R}_{\text{AxII}}/\bar{R}_{\text{BVI}} \leq 1,95$		$0 \leq X \leq 1,4$		
Dy		$0 \leq X \leq 0,75$	$1,92 \leq \bar{R}_{\text{AxII}}/\bar{R}_{\text{BVI}} \leq 1,95$		$0 \leq X \leq 1,2$		
Yb		$0 \leq X \leq 0,55$	$1,92 \leq \bar{R}_{\text{AxII}}/\bar{R}_{\text{BVI}} \leq 1,95$		—		
Lu	—	—	—		$0 \leq X \leq 0,6$	1,92(1)	
Nd	—	$X = 0$	1,88	1,88	$X = 0$	1,905	
Sm		$0 \leq X \leq 1,1$	$1,87 \leq \bar{R}_{\text{AxII}}/\bar{R}_{\text{BVI}} \leq 1,88$	1,870	$0 \leq X \leq 2,2$	1,880(5)	
Eu		$0 \leq X \leq 0,8$	$1,87 \leq \bar{R}_{\text{AxII}}/\bar{R}_{\text{BVI}} \leq 1,88$		—		
Gd	—	—	—		$0 \leq X \leq 1,2$		
Dy		$0 \leq X \leq 0,55$	$1,87 \leq \bar{R}_{\text{AxII}}/\bar{R}_{\text{BVI}} \leq 1,88$		—		
Yb		$0 \leq X \leq 0,35$	$1,87 \leq \bar{R}_{\text{AxII}}/\bar{R}_{\text{BVI}} \leq 1,88$		$0 \leq X \leq 0,6$		

Примітка. У роботі використано систему кристалічних іонних радіусів [9].

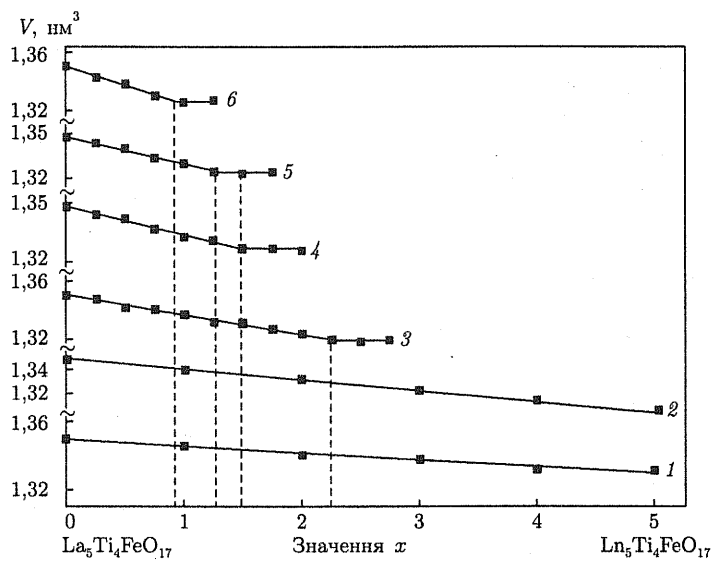


Рис. 1. Залежності об'ємів елементарних ромбічних қомірок $\text{La}_{5-x}\text{Ln}_x\text{Ti}_4\text{FeO}_{17}$ (1 — $\text{Ln}^{\text{I}} = \text{Pr}$, 2 — $\text{Ln}^{\text{I}} = \text{Nd}$, 3 — $\text{Ln}^{\text{I}} = \text{Sm}$, 4 — $\text{Ln}^{\text{I}} = \text{Gd}$, 5 — $\text{Ln}^{\text{I}} = \text{Dy}$, 6 — $\text{Ln}^{\text{I}} = \text{Yb}$) від складу (значення x)

$\overline{R}_{\text{LnXII}}/\overline{R}_{\text{BVI}}$ для фаз $\text{Ln}_{5-x}\text{Ln}_x^{\text{I}}\text{Ti}_4\text{FeO}_{17}$ не залежать від типу атомів Ln^{I} ($\text{Sm} - \text{Yb}$) і близькі у випадку $\text{Ln} = \text{La}$, Pr (1,935(5) та 1,92 відповідно), а найменше значення $\overline{R}_{\text{LnXII}}/\overline{R}_{\text{BVI}}$ для фаз $\text{Nd}_{5-x}\text{Ln}_x^{\text{I}}\text{Ti}_4\text{FeO}_{17}$ (1,87) лише трохи менше відповідного значення для $\text{Nd}_5\text{Ti}_4\text{FeO}_{17}$ (1,88). Незалежність мінімальних значень співвідношень $\overline{R}_{\text{LnXII}}/\overline{R}_{\text{BVI}}$ від типу атомів Ln^{I} та наявність двох різних мінімальних значень $\overline{R}_{\text{LnXII}}/\overline{R}_{\text{BVI}}$ (одне для $\text{Ln} = \text{La}, \text{Pr}$, інше для $\text{Ln} = \text{Nd}$), які не перекриваються одним, були зафіксовані раніше також і для чотиришарових фаз $\text{Ln}_{4-x}\text{Ln}_x^{\text{I}}\text{Ti}_4\text{O}_{14}$ [8] (табл. 1).

Аналіз одержаних даних про умови існування ШПС фаз $\text{Ln}_{5-x}\text{Ln}_x^{\text{I}}\text{Ti}_4\text{FeO}_{17}$ дозволяє зробити висновок, що крайнім членом ряду індивідуальних п'ятишарових перовскітоподібних сполук типу $\text{Ln}_5\text{Ti}_4\text{FeO}_{17}$ є $\text{Nd}_5\text{Ti}_4\text{FeO}_{17}$, оскільки для $\text{Ln}_5\text{Ti}_4\text{FeO}_{17}$ ($\text{Ln} = \text{Sm} - \text{Lu}$) величина співвідношення $\overline{R}_{\text{LnXII}}/\overline{R}_{\text{BVI}}$ не перевищує значення 1,84 і є меншою мінімально можливої для фаз $\text{Ln}_{5-x}\text{Ln}_x^{\text{I}}\text{Ti}_4\text{FeO}_{17}$ з ШПС (1,87) (табл. 1). Підтвердженням цього висновку є також негативні спроби синтезу шаруватої перовскітоподібної сполуки $\text{Sm}_5\text{Ti}_4\text{FeO}_{17}$ [1].

Слід відзначити досить істотне зменшення меж ізовалентного заміщення атомів РЗЕ у ШПС при переході від $\text{La}_5\text{Ti}_4\text{FeO}_{17}$ до $\text{Nd}_5\text{Ti}_4\text{FeO}_{17}$ (табл. 1). Так, для фаз $\text{Nd}_{5-x}\text{Sm}_x\text{Ti}_4\text{FeO}_{17}$ межа існування ШПС становить $x \leq 1,1$, що в два рази менше відповідного значення для $\text{La}_{5-x}\text{Sm}_x\text{Ti}_4\text{FeO}_{17}$ ($x \leq 2,35$), хоча відносна різниця у величинах кристалічних іонних радіусів неодиму й самарію становить лише 2,1% і значно менша відповідної величини для пари лантан — самарій (8%). Така обмеженість в існуванні твердих розчинів $\text{Ln}_{5-x}\text{Ln}_x^{\text{I}}\text{Ti}_4\text{FeO}_{17}$ із ШПС при величинах $\Delta R (\text{Ln} - \text{Ln}^{\text{I}}) \ll 15\%$ і близьких інших характеристиках (природа хімічного зв'язку, потенціал іонізації, поляризаційні властивості) атомів Ln й Ln^{I} , очевидно, обумовлена впливом структурного фактора, а саме, характером розподілу атомів РЗЕ, основні риси механізму дії якого при ізовалентному заміщенні атомів типу А в ШПС сполук сімейства $A_nB_nO_{3n+2}$ були описані нами раніше в роботі [10].

Величина ізоморфної ємності — один із основних факторів, який характеризує стабільність структури. Як показано в [8], серед тонкоблоочних ($n = 2-4$) сполук типу $A_nB_nO_{3n+2}$ найбільшу ізоморфну ємність (і відповідно стабільність) мають чотиришарові сполуки

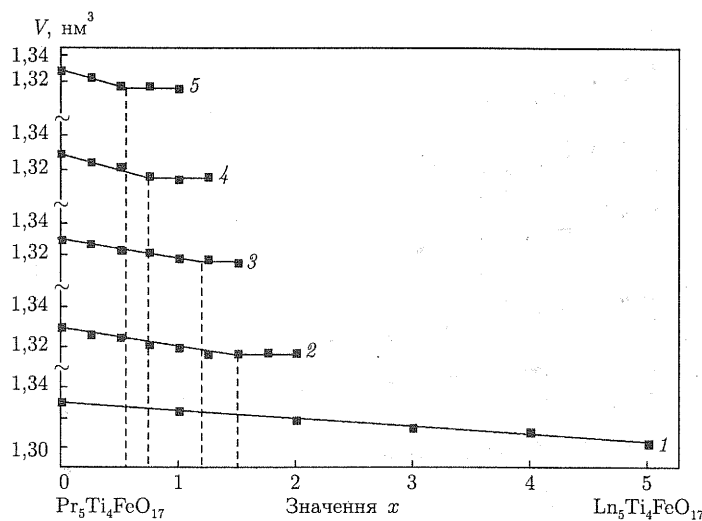


Рис. 2. Залежності об'ємів елементарних моноклінічних комірок $\text{Pr}_{5-x}\text{Ln}_x^{\text{I}}\text{Ti}_4\text{FeO}_{17}$ (1 — $\text{Ln}^{\text{I}} = \text{Nd}$, 2 — $\text{Ln}^{\text{I}} = \text{Sm}$, 3 — $\text{Ln}^{\text{I}} = \text{Gd}$, 4 — $\text{Ln}^{\text{I}} = \text{Dy}$, 5 — $\text{Ln}^{\text{I}} = \text{Yb}$) від складу (значення x)

$\text{A}_4\text{B}_4\text{O}_{14}$, в яких два з чотирьох шарів октаедрів BO_6 є внутрішніми. Значно менша стабільність дво- і тришарових сполук типу $\text{A}_n\text{B}_n\text{O}_{3n+2}$ обумовлена, очевидно, відсутністю внутрішніх, власне “перовскітних”, шарів октаедрів BO_6 при $n = 2$ та значною напруженістю єдиного внутрішнього шару октаедрів BO_6 у тришаровій ШПС сполук типу $\text{A}_3\text{B}_3\text{O}_{11}$ [8].

Зіставлення відомих даних про межі ізоморфної ємності чотиришарових $\text{Ln}_4\text{Ti}_4\text{O}_{14}$ та одержаних у даній роботі аналогічних даних для п'ятишарових $\text{Ln}_5\text{Ti}_4\text{FeO}_{17}$ (табл. 1) показує, що “дорощування” числа шарів октаедрів BO_6 у чотиришаровому перовскітоподібному блоці титанатів $\text{Ln}_4\text{Ti}_4\text{O}_{14}$ ($\text{Ln} = \text{La} - \text{Nd}$) перовскітами складу LnFeO_3 призводить до зменшення ізоморфної ємності (стабільності) ШПС. Вірогідною причиною цього є кінетичні труднощі утворення довгоперіодної ($b \geq 3,1$ нм) високовпорядкованої ШПС та зменшення із ростом n “надлишку” іонів O^{2-} в перовскітоподібних блоках сполук типу $\text{A}_n\text{B}_n\text{O}_{3n+2}$, що наближає склад та будову їх ШПС до дуже термодинамічно стабільного перовскіту ABO_3 .

Таким чином, у даній роботі визначено умови ізовалентного заміщення атомів РЗЕ в п'ятишаровій ШПС сполук $\text{Ln}_5\text{Ti}_4\text{FeO}_{17}$ за типом $\text{Ln}_{5-x}\text{Ln}_x^{\text{I}}\text{Ti}_4\text{FeO}_{17}$ ($\text{Ln} = \text{La}, \text{Pr}, \text{Nd}, \text{Ln}^{\text{I}} = \text{Pr}, \text{Nd}, \text{Sm}, \text{Gd}, \text{Dy}, \text{Yb}$). Встановлено природу синтезованих фаз та показано, що розміри областей існування твердих розчинів $\text{Ln}_{5-x}\text{Ln}_x^{\text{I}}\text{Ti}_4\text{FeO}_{17}$ з ШПС зменшуються в ряду $\text{La} - \text{Pr} - \text{Nd}$, не залежать від типу атомів Ln^{I} і визначаються лише геометричним фактором (співвідношенням іонних радіусів атомів А-позицій В: $\bar{R}_{\text{LnXII}}/\bar{R}_{\text{BVI}}$). Необхідними критеріями реалізації обмежених рядів твердих розчинів типу $\text{Ln}_{5-x}\text{Ln}_x^{\text{I}}\text{Ti}_4\text{FeO}_{17}$ з ШПС є нерівності: $1,92 \leq \bar{R}_{\text{LnXII}}/\bar{R}_{\text{BVI}} \leq 2,00$ ($\text{Ln} = \text{La}, \text{Pr}$) і $\bar{R}_{\text{LnXII}}/\bar{R}_{\text{BVI}} = 1,87$ для $\text{Nd}_{5-x}\text{Ln}_x^{\text{I}}\text{Ti}_4\text{FeO}_{17}$. Аналіз одержаних результатів свідчить про зменшення ізоморфної ємності (і відповідно стабільності) п'ятишарової ШПС $\text{Ln}_5\text{Ti}_4\text{FeO}_{17}$ у порівнянні із чотиришаровою ШПС сполук $\text{Ln}_4\text{Ti}_4\text{O}_{14}$, а також вказує на нелінійний характер залежності стабільності (ізоморфної ємності) ШПС сполук типу $\text{A}_n\text{B}_n\text{O}_{3n+2}$ від товщини їх перовскітоподібних блоків.

1. Lichtenberg F., Herrnberger A., Wiedenmann K., Mannhart J. Synthesis of perovskite-related layered $\text{A}_n\text{B}_n\text{O}_{3n+2} = \text{ABO}_x$ type niobates and titanates and study of their structural, electric and magnetic properties // Progr. Sol. State Chem. – 2001. – 29, No 1. – P. 1–70.
2. Hwang D. W., Kim H. G., Kim J. et al. Photocatalytic water-splitting over highly donor-doped (110) layered perovskites // J. catalysis. – 2000. – 193, No 1. – P. 40–48.

3. Nanot M., Queyroux F., Gilles J.-C. Etude cristallographique des termes $n = 4, 5, 5$ et 6 des séries $(La, Ca)_nTi_nO_{3n+2}$, $(Nd, Ca)_nTi_nO_{3n+2}$ et $Ca_n(Ti, Nb)_nO_{3n+2}$ // J. Sol. State Chem. – 1979. – **28**, № 2. – P. 137–147.
4. Герман М., Коєба Л., Штурм К. Рентгенографическое исследование фаз со слоистой перовскитоподобной структурой // Журн. неорган. химии. – 1984. – **29**, № 9. – С. 2201–2205.
5. Сыч А. М., Максакова Р. В., Дидух И. Р., Титов Ю. А. Оксидные фазы $A_5B_5O_{17}$ со слоистой перовскитоподобной структурой // Там же. – 1988. – **33**, № 7. – С. 1819–1823.
6. Исупов В. А., Смирнова Е. П., Исупова Е. Н. и др. Исследование физических свойств слоистых сегнетоэлектриков типа $A_nB_nO_{3n+2}$ // Физика тверд. тела. – 1977. – **19**, № 3. – С. 933–935.
7. Голубицький В. М., Приседський В. В., Грінченко О. І. та ін. Сполуки з шаровою перовскітоподібною структурою в системі $PbTiO_3 - La_2Ti_2O_7$ // Доп. АН УРСР. Сер. Б. – 1988. – № 7. – С. 37–40.
8. Титов Ю. О. Синтез, будова і властивості шаруватих перовскітоподібних сполук та фаз типу $A_nB_nO_{3n+2}$: Дис... д-ра хім. наук. 02.00.01. – Київ, 2003. – 282 с.
9. Shannon R. D. Revised effective ionic radii and systematic studies of interatomic distances in halides and halogenides // Acta Crystallogr. – 1976. – **A32**, No 5. – P. 751–767.
10. Титов Ю. О., Белявіна Н. М., Марків В. Я. Взаємозв'язок характеру локалізації атомів РЗЕ та меж ізоморфного заміщення в шаруватій структурі $CaLa_{4-x}Ln_xTi_5O_{17}$ // Доп. НАН України. – 2005. – № 10. – С. 153–158.

Київський національний університет
ім. Тараса Шевченка

Надійшло до редакції 21.03.2006

УДК 678.6:66.042.22:543.637.6

© 2006

Член-кореспондент НАН України М. Д. Тронько, І. П. Пастер

Залежність механічної та осмотичної стабільності альгінатних капсул від концентрації полімеру

The authors suggest a way of optimizing the method of estimation of the mechanical and osmotic stabilities of alginate capsules intended for microencapsulation of tissues or cells, which allows one to select stable capsules. A direct relationship between the alginate capsule stability and the polymer concentration has been shown.

Для запобігання реакції відторгнення трансплантувати гормонопродукуючих тканин і клітин при компенсації гіпофункціонального стану ендокринних органів застосовують метод мікроінкапсуляції в капсули з напівпроникними мембраними [1–3]. Такі капсули проникні для гормонів, поживних речовин і кисню, але не проникні для компонентів імунної системи [1–3].

Найчастіше, для виготовлення мікроапсул застосовують альгінат, отриманий із свіжозбираних морських водоростей шляхом екстракції та очищення, що дозволяє видалити мітогенні та цитотоксичні домішки без руйнування полімеру [1–3]. Функціональні властивості альгінату як матриксу для імобілізації тканин і клітин жорстко корелюють із молекулярною величиною полімеру, а також складом та структурою нерозгалужених подвійних гомо- і гетерополімерних блоків 1–4-зв'язаних β -D-мануронової та α -L-гулуронової кислот, які не мають регулярної повторюваності [4, 5].

Основними фізико-хімічними характеристиками альгінатних мікроапсул є їх висока механічна та хімічна стабільність, керовані властивості набухання, визначений розмір пор,